

Литература

1. Щербинин В.Е., Шур М.Л. Учет границ изделия на поле цилиндрического дефекта // Дефектоскопия. — 1976. — № 7. — С. 30-36.
2. Шур М.Л., Щербинин В.Е. Магнитостатическое поле дефекта, расположенного в плоскопараллельной пластине // Дефектоскопия. — 1977. — № 3. — С. 92-96.

УДК 62-50

АНАЛИЗ ИМПУЛЬСНОГО СТАБИЛИЗАТОРА НАПРЯЖЕНИЯ С ШИРОТНО-ИМПУЛЬСНЫМ УПРАВЛЕНИЕМ

Калина В.А., Кузнецов А.П., Батура М.П.

*Белорусский государственный университет
информатики и радиоэлектроники*

Импульсные стабилизаторы постоянного напряжения из-за высоких энергетических показателей, большой надежности и хороших массогабаритных характеристик получили широкое распространение в системах электропитания различных устройств автоматики, электроники, вычислительной техники. Они являются системами автоматического регулирования, в которых имеет место амплитудно-импульсная модуляция (АИМ), частотно-импульсная модуляция (ЧИМ) или широтно-импульсная модуляция (ШИМ). Такие системы являются существенно нелинейными, анализ и синтез которых до настоящего времени представляет собой сложную задачу. Сейчас наибольшее количество результатов по анализу и синтезу получены для систем с АИМ, в меньшей степени для систем с ЧИМ и ШИМ первого рода, а для систем с ЧИМ и ШИМ второго рода имеется наименьшее количество результатов по их исследованию. В данной работе рас-

считается широтно-импульсный стабилизатор постоянного напряжения, отличающийся по сравнению с остальными стабилизаторами рядом преимуществ.

Рассмотрим методику вывода математической модели импульсного стабилизатора напряжения (ИСН). Структурная схема и временные диаграммы напряжений ИСН с модуляцией заднего фронта импульсов приведены на рис.1 и 2.

На вход ИСН поступает опорное напряжение U_0 и напряжение обратной связи

$$U_{oc}(t) = K_{oc} U_{вых}(t), \quad (1)$$

где K_{oc} – коэффициент передачи цепи обратной связи по напряжению. пилообразное напряжение $U_{п}(t)$ поступает на один из входов импульсного

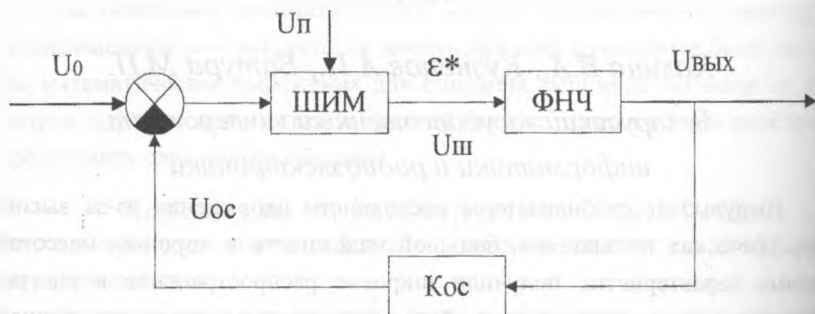


Рис.1 Структурная схема ИСН

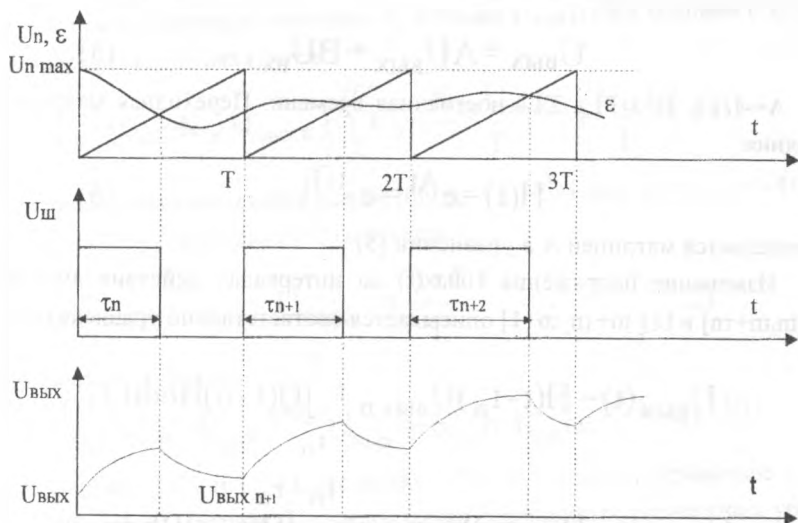


Рис.2 Временные диаграммы ИСН

элемента. Сигнал ошибки $\varepsilon(t)$:

$$\varepsilon(t) = U_0 - U_{oc} \quad (2)$$

преобразуется импульсным элементом (ИЭ) в последовательность прямоугольных импульсов $U_{ш}(t)/U_{из}(t)$, модулированных по длительности, которые поступают на вход непрерывной линейной части (НЛЧ) системы, представляющей собой фильтр нижних частот с передаточной функцией $W(p)$:

$$W(p) = \frac{U_{вых}(p)}{U_{вх}(p)} = \frac{1}{1+T_1 p} \quad (3)$$

Дифференциальное уравнение имеет вид

$$U_{вых}(p)[1+T_1 p] = U_{вх}(p) \quad (4)$$

Уравнение состояния

$$U_{\text{ВЫХ}} = AU_{\text{ВЫХ}} + BU_{\text{ВХ}}, \quad (5)$$

где $A = -1/T_1$, $B = 1/T_1$, а T_1 — постоянная времени. Переходная матрица состояния:

$$H(t) = e^{At} = e^{-t/T_1}, \quad (6)$$

определяется матрицей A в уравнении (5).

Изменение напряжения $U_{\text{ВЫХ}}(t)$ на интервалах действия импульсов $t \in [t_n, t_n + \tau_n]$ и $t \in [t_n + \tau_n, t_n + 1]$ описывается соответственно уравнениями:

$$U_{\text{ВЫХ}}(t) = H(t - t_n)U_{\text{ВЫХ}n} + \int_{t_n}^t H(t-u)Bhdu, \quad (7)$$

$$U_{\text{ВЫХ}}(t) = H(t - t_n)U_{\text{ВЫХ}n} + \int_{t_n}^{t_n + \tau_n} H(t-u)Bhdu. \quad (8)$$

Полагая в (8) $t = t_n + 1$, получим разностное уравнение НЛЧ

$$U_{\%dh(n+1)} = H^{-TT_1} U_{\%dh(n)} + hH^{-(T-\tau_n)/T_1} - hH^{-TT_1}. \quad (9)$$

Разностное уравнение модулятора (уравнение замыкания) в моменты времени определяемыми уравнением $U_n - \epsilon = 0$ (формирование заднего фронта импульсов):

$$K_{\Pi} t - U_0 + K_{\text{OC}} U_{\text{ВЫХ}} = 0, \quad (9)$$

где K_{Π} - коэффициент наклона пилы, $K_{\Pi} = U_{n \text{ max}}/T$.

Подставляя $U_{\text{ВЫХ}}$ из уравнения (7) при $t = \tau_n$ и $t_n = 0$ получается

$$K_{\Pi} \tau_n - U_0 + K_{\text{OC}} e^{-\tau_n/T_1} U_{\text{ВЫХ}n} + K_{\text{OC}} h - K_{\text{OC}} h e^{-\tau_n/T_1} = 0. \quad (10)$$

Нелинейные разностные уравнения (Ошибка! Закладка не определена.), (10) представляют собой динамическую модель ИСН с ШИМ, позволяющую при заданных начальных условиях вычислить переходный процесс в

ИСН, т.е. последовательно находить τ_n , а также $U_{\text{вых}}(t)$. При условии $t = \tau_n + \tau_n$ и подставляя (7) в (9) находится

$$\tau_n = (U_0 - K_{\text{ос}} U_{\text{вых } n}) / \left(K_{\text{п}} \frac{K_{\text{ос}} U_{\text{вых } n} + K_{\text{ос}} h}{T_1} \right). \quad (11)$$

Рассматривая установившийся режим при $\tau_n = \tau_{n+1} = \tau^* = \text{const}$ и $U_{\text{вых } n} = U_{\text{вых } n+1} = U_{\text{вых}}^* = \text{const}$ из уравнения (12) получим

$$U_{\text{вых}}^* = \frac{h \tau^*}{T}. \quad (12)$$

Из уравнения (10) имеем

$$K_{\text{п}} \tau^* - U_0 + K_{\text{ос}} e^{-\tau^*/T_1} U_{\text{вых}}^* + K_{\text{ос}} h - K_{\text{ос}} h e^{-\tau^*/T_1} = 0. \quad (13)$$

Уравнения (12) и (13) определяют τ^* и U^* , причем уравнение (13) трансцендентное. Производя линеаризацию нелинейных разностных уравнений относительно установившихся значений τ^* и U^* для оценки устойчивости процессов в ИСН, разлагаем разностные уравнения (**Ошибка! Закладка не определена.**), (10) в ряды Тейлора относительно $U_{\text{вых}}^*$ и τ^* , исключая затем члены, относящиеся к установившемуся режиму, и отбрасывая члены выше первого порядка, получаем систему линейных разностных уравнений вида

$$U_{\text{вых } n+1} = A U_{\text{вых } n}. \quad (14)$$

Здесь $U_{\text{вых } n} = \text{colon}(\Delta U_{\text{вых } 1 n}, \Delta U_{\text{вых } 2 n}, \dots, \Delta U_{\text{вых } m n})$, $A = (a_{ij})$ - квадратная матрица. Асимптотическая устойчивость решения системы уравнений (14) определяется характеристическими числами λ_i матрицы A , удовлетворяющими уравнению

$$\det(A - \lambda E) = 0, \quad (15)$$

где E - единичная матрица. Если все характеристические числа λ_i лежат внутри круга единичного радиуса, то исследуемый процесс асимптотиче-

ски устойчив. Проводя исследование устойчивости процесса, область устойчивости будет определяться неравенством вида

$$(2T_1/T) - 1 > K_{ш} K_{ос}. \quad (16)$$

Использование данной методики позволяет производить моделирование переходного процесса и строить области устойчивости ИСН.

Литература

1. Кузнецов А.П., Батура М.П., Шилин Л.Ю. Анализ и параметрический синтез импульсных систем с фазовым управлением. -Мн: Наука и техника, 1993.
2. Попов Е.П. Теория нелинейных систем автоматического регулирования и управления. - М.:Наука, 1988.

МЕТОДИКА ПРОЕКТИРОВАНИЯ СХЕМЫ ЭЛЕКТРОПИТАНИЯ ДЛЯ КАБИНЕТА ВЫЧИСЛИТЕЛЬНОЙ ТЕХНИКИ

Козак А.Ф., Суслов В.А.

Брестский политехнический институт

Кабинеты вычислительной техники (КВТ) на базе ПЭВМ в настоящее время позволяют наиболее эффективно использовать компьютерное оборудование. При такой организации работы к ПЭВМ получает доступ наибольшее количество пользователей, что способствует распространению компьютерной грамотности и повышает интенсивность использования дорогостоящего оборудования, имеющего малые сроки морального старения.

Проектирование и монтаж КВТ выполняется, как правило, в непригодных помещениях, инженерное оборудование которых не соответствует оптимальной организации КВТ и не всегда обеспечивает безопасные